

§ 12 Zeitentwicklung in der Quantenmechanik

Ab sofort ist in Strenger

$$\hbar \neq 0 \quad (0)$$

In diesem §: Lösen der zeitabhängigen Schrödingergleichung

$$H|\psi\rangle = i\hbar \frac{\partial}{\partial t} |\psi\rangle \quad (1)$$

für stationäre H ($\frac{\partial H}{\partial t} = 0$) und für zeitlich periodische H : $H(t+T) = H(t)$.

12.1 Stationäre beschreibbare H : die Tschebyscheff-Methode

Bekannt
↓

Pafnuti Lwowitsch Tschebyschow (1821-1894)

(Čebyšev, Chebyshev, Tchebycheff, ...)

Lehrer von Andrei Andrejewitsch Markow,
Alexander Michailowitsch Ljapunow

Was ist die Idee? — Trennung der strukturellen / spektralen Information von der zeitabhängigkeit bei z.B. Totaldiagonalisierung:

$$H = \sum_v \epsilon_v |v\rangle \langle v| \quad (2)$$

(Spektraldarstellung)

⇒ Lösung von (1):

$$\begin{aligned} |\psi(t)\rangle &= e^{-iHt/\hbar} |\psi(0)\rangle \quad \text{nur einmal ausrechnen.} \\ &= \sum_v e^{-i\epsilon_v t/\hbar} |v\rangle \langle v|\psi_0\rangle \quad (3) \end{aligned}$$

Die Tschebyscheff-Methode schafft das ähnlich, aber ohne Totaldiagonalisierung.

Benötigen Werkzeug!

Tschebyscheff-Polynome

gehören zur Familie der orthogonalen Polynome

Gegeben: positive Gewichtsfunktion $w(x)$ auf $[a, b]$
 \Rightarrow Def. Skalarprodukt

$$\langle f | g \rangle := \int_a^b dx w(x) f(x) g(x) \quad (4)$$

\exists Folge von Polynomen $p_n(x)$ mit Orthogonalitätsrelation

$$\langle p_n | p_m \rangle = \frac{\delta_{nm}}{h_n} = \frac{\delta_{nm}}{\langle p_n | p_n \rangle} \quad (5)$$

\Rightarrow "Beliebige" Funktion kann nach $p_n(x)$ entwickelt werden

$$f(x) = \sum_{n=0}^{\infty} \alpha_n p_n(x); \quad \alpha_n = \langle p_n | f \rangle h_n \quad (6)$$

Je nach $[a, b]$ und $w(x)$ gibt es viele verschiedene nützliche orthogonale Polynome, die viele gemeinsame Eigenschaften haben (vgl. z.B. Abramowitz & Stegun, Handbook of Math. Functions). Insbesondere alle "französischen" Polynome aus Physik IV (Legendre, Laguerre, Hermite) gehören dazu. Wir begeben uns aber von Paris nach St. Petersburg.

\exists zwei Arten von Tschebyscheffpolynomen, beide def. auf $[-1, +1]$

$$\begin{aligned} 1. \text{ Art: } T_n(x), \quad w(x) &= (\pi \sqrt{1-x^2})^{-1} \\ 2. \text{ Art: } U_n(x), \quad w(x) &= \pi \sqrt{1-x^2} \end{aligned} \quad (7)$$

Wir benutzen die $T_n(x)$, die normiertesten Polynome:

Von allen Polynomen (Grad n) mit führendem Koeffizienten 1 weicht das Polynom $2^{-n+1} T_n(x)$ auf $[-1, 1]$ am wenigsten von Null ab.

(Welche Norm? Keine Ahnung; Aussage aus Gradstufen - Ritzhyk.)

Bild aus Abramowitz

Dass die T_n durch ± 1 beschränkt sind, sieht man aus (einer der möglichen Definitionen):

$$T_n(x) = \cos(n \arccos x) \quad (8)$$

$$\text{Substitution } x = \cos \varphi \Rightarrow \frac{dx}{\sqrt{1-x^2}} = -d\varphi$$

$$\Rightarrow \langle T_n | T_m \rangle \rightarrow \text{übliche } \perp\text{-Relation } \langle \cos n\varphi | \cos m\varphi \rangle$$

$$\Rightarrow \langle T_n | T_m \rangle = \delta_{nm} \frac{1 + \delta_{n,0}}{2} \quad (9)$$

und aus $\cos((m \pm 1)\varphi) = \dots$ folgt sogleich die Rekursion

$$T_{m+1}(x) = 2x T_m(x) - T_{m-1}(x) \quad (10)$$

$$(8) \Rightarrow T_0(x) = 1; \quad T_1(x) = x; \quad T_{-n}(x) = T_n(x) \quad (11)$$

Der Zeitentwicklungsoperator

... in Tschebyscheff-Darstellung ergibt sich aus

$$\begin{aligned} \langle T_n | e^{izx} \rangle &= \frac{1}{\pi} \int_{-1}^1 \frac{dx}{\sqrt{1-x^2}} \underbrace{T_n(x)}_{\cos(\arccos x)} e^{izx} \\ [x = \cos \varphi] \\ &= \frac{1}{\pi} \int_0^\pi d\varphi \cos(n\varphi) e^{iz \cos \varphi} = i^n J_n(z) \quad (12) \end{aligned}$$

mit der Bessel-Funktion (1. Art)

$$J_n(z) = \frac{i^{-n}}{\pi} \int_0^\pi d\theta e^{iz \cos \theta} \cos(n\theta) \quad (13)$$

$\Rightarrow e^{izx}$ kann für $x \in [-1, 1]$ nach $\{T_n(x)\}$ entwickelt werden; z kann beliebig sein.

Wir möchten z mit der (beliebigen) Zeit t identifizieren und x mit H bzw dessen Spektrum („nur einmal ausrechnen“).
Es soll also gelten (vgl (3))

$$\frac{E_V}{\hbar} \in [-1, 1] \quad (14)$$

(das Spektrum von) H muss also beschränkt sein; dann können wir mit einer Reskalierung $\tilde{H} = \frac{H-b}{a}$ (15)

immer erreichen, dass (14) erfüllt ist.

Man kann die extremalen EW von H z.B. mit der Lanczos-Methode (§8) näherungsweise berechnen; mit einem Sicherheits-Faktor ϵ ergibt sich dann

$$a = \frac{E_{\max} - E_{\min}}{2 - \varepsilon}, \quad b = \frac{E_{\max} + E_{\min}}{2} \quad (16)$$

Dann ist der Zeitentwicklungsoperator

$$U(t) = e^{-iHt/\hbar} = e^{-i(a\tilde{H}+b)t/\hbar} \\ = e^{-ibt/\hbar} \left(c_0 + 2 \sum_{k=1}^N c_k T_k(\tilde{H}) \right) \quad (17)$$

mit den Entwicklungskoeffizienten

$$c_k = \int_{-1}^1 dx \frac{T_k(x) e^{-iaxt/\hbar}}{\pi \sqrt{1-x^2}} = (-i)^k J_k(at/\hbar) \quad (18)$$

Beachte: • Zeitabhängigkeit komplett in (18),
Quantenmechanik findet in (17) statt.
• Sowohl die T_k als auch die J_k erfüllen einfache Rekursionsformeln

Der zeitabhängige Zustand

$$|\Psi(t)\rangle = U(t) |\Psi_0\rangle = e^{-ibt/\hbar} \left(c_0 + 2 \sum_{k=1}^N c_k |\phi_k\rangle \right) \quad (19)$$

← eigentlich ∞

\uparrow \uparrow
 t -abhängig (18)

wobei

$$|\phi_0\rangle := |\Psi_0\rangle, \quad |\phi_1\rangle = T_1(\tilde{H}) |\Psi_0\rangle = \tilde{H} |\Psi_0\rangle$$

$$|\phi_{m+1}\rangle = 2\tilde{H} |\phi_m\rangle - |\phi_{m-1}\rangle \quad (20)$$

Vorgehen:

- i) Berechne $|\phi_0\rangle \dots |\phi_N\rangle$ einmal und speichere sie
- ii) Berechne $|\Psi(t)\rangle$ mit (19) für „beliebige“ t .

- i) benötigt nur Matrix-Vektor-Multiplikationen
- ii) benötigt nur Besselfunktionen

Wahl von N ? Beachte Asymptotik der Bessel-funktionen für große k (Abramowitz 9.3.1)

$$J_k(z) \sim \frac{1}{\sqrt{2\pi k}} \left(\frac{ez}{2k} \right)^k \quad (21)$$

< 1 für $k > \frac{ez}{2}$
und abnehmend mit k

\Rightarrow für große k fällt $J_k(z)$ schneller als exponentiell ab.

$\Rightarrow N \approx 1.5 \frac{a}{\hbar} t_{\max}$ liefert gute Ergebnisse für $t < t_{\max}$.

Zusatztest: $\langle \psi(t) | \psi(t) \rangle \stackrel{?}{=} \langle \psi(0) | \psi(0) \rangle$

Für dünn besetzte Hamilton-Matrizen ist das Verfahren linear in der Zeit & linear in der Matrixdimension.

Schneller und einfacher als Crank-Nicholson, (§4) wo in jedem Schritt ein lineares Gleichungssystem gelöst werden muss.

„Triviales“ Beispiel: Berechnung von $e^{i\hat{H}t}$.
Formel: ersetze $\frac{a}{\hbar} \hat{H}$ durch $x \cdot \mathbb{I}$.

Crank-Nicholson (vgl §4)

$$U(t) = \left(\frac{1 - i \frac{\hat{H}t}{2N}}{1 + i \frac{\hat{H}t}{2N}} \right)^N \quad (20)$$

im Beispiel ist $N = 90$ für CN, $N = 15$ für Tschebyscheff

Bild 19.6 aus

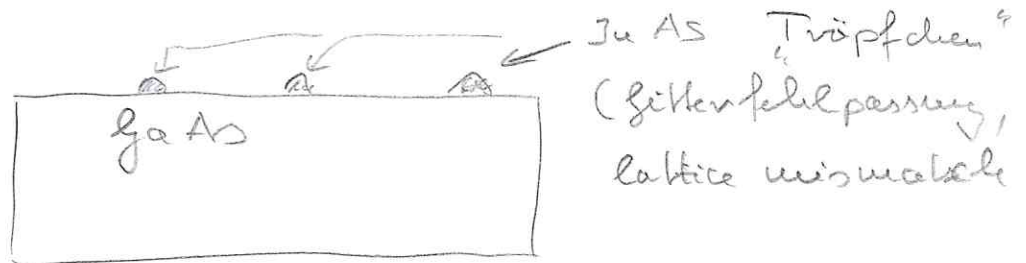
Alexander Weisse und Holger Fehske
Chebyshev Expansion Techniques
Chapter 19, p. 545 - 577

in Lecture Notes in Physics 739 (2007)
Holger Fehske, Ralf Schneider, Alexander Weisse (Eds.)
Computational Many-Particle Physics

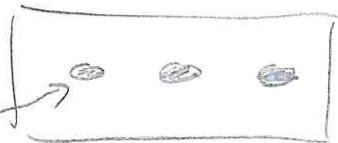
12.2 Ein Beispiel: Spinwechsel in Quantenpunkten (GD)

J. Hackmann, Dissertation, TU Dortmund (T II), 2015
 In AS (→ Eldorado)

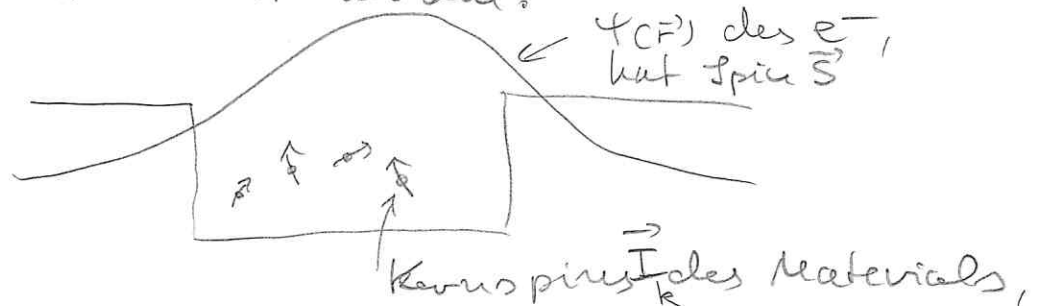
Experimentell: ↓



Abdecken mit GaAs ⇒



Potentialtopf: „künstliches Atom“, kann mit einem e^- oder h^+ besetzt werden:



WWen mit e^- Spin, $\sim |\psi(\vec{r}_{\text{Kern}})|^2$
 (Fermi-Kontakt WW)

\vec{I}_k wechselwirken untereinander nur sehr schwach ($\mu_{\text{Kern}} \sim \frac{1}{1836} \mu_{\text{Boltz}}$)

Modell:

$$H = \vec{S} \cdot \sum_{k=1}^N A_k \vec{I}_k \quad (21)$$

Kopplungsstärke, o.o.

„Zentralspinmodell“, Gaudin-Modell

(NB in Hackmanns Dissertation noch einige zusätzliche Komplikationen.)

Experiment (z.B. E II): zirkular polarisiertes Licht koppelt an Spin des e^- , Pump-probe-Experimente ermöglichen, den Spin zeitlich zu verfolgen.

Messgröße ist die Spinvarianzfunktion

$$S(t) = \frac{1}{2} (\langle S^z(t) S^z \rangle + \langle S^z S^z(t) \rangle) - \langle S^z \rangle^2 \quad (22)$$

$= S(t)$

oder deren Spektralfunktion

$$\begin{aligned} S(\omega) &= \int_{-\infty}^{\infty} dt S(t) e^{-i\omega t} \\ &= \int_{-\infty}^{\infty} dt S(t) \cos \omega t \end{aligned} \quad (23)$$

Erfüllt (21) die Voraussetzungen für Anwendung von Tschebyscheff?

- $R_{QD} \sim 100 \text{ \AA} \Rightarrow V_{QD} \sim 10^6 \text{ \AA}^3 \Rightarrow 10^6 \text{ Atome (Kerne) } = N$
- Im Modell z.B. $N=20 \Rightarrow \text{Dim}(\mathcal{H}) = 2^{20} = 2 \cdot 10^6$
für Spin- $1/2$ (konkret eher $S=3/2$).
 \Rightarrow Hochdimensionale Hamiltonmatrix.
- $S = 1/2$ oder $3/2 \Rightarrow$ Spektrum ist beschränkt
- Betrachte Standard-Basis: gemeinsame Eigenzustände von S^z und allen I_k^z .

Wirkung eines Terms von (21) ($S=1/2, I=1/2$)

$$\vec{S} \cdot \vec{I} = S^z I^z + \frac{1}{2} (S^+ I^- + S^- I^+) \quad (24)$$

$$(S^\pm = S^+ \pm iS^y, I^\pm \text{ analog})$$

$S^z I^z$ diagonal;

2. Term koppelt nur $|\uparrow\downarrow\rangle \leftrightarrow |\downarrow\uparrow\rangle$

- \Rightarrow dünn besetzt, kann "on the fly" berechnet werden, ohne Speicherung der H-Matrix.

Rechnung:

$$\langle \phi | S_z^2(t) S_z | \phi \rangle = \langle \phi | e^{+iHt/\hbar} S_z e^{-iHt/\hbar} S_z | \phi \rangle$$

$\underbrace{S_z | \phi \rangle}_{=: |\psi \rangle}$

Berechne à la Tschebyscheff

$$|\psi(t)\rangle = e^{-iHt/\hbar} |\psi\rangle$$

$$|\phi(t)\rangle = \quad \quad \quad |\phi\rangle$$

(25)

und bilde $\langle \phi(t) | S_z | \psi(t) \rangle \Rightarrow$ fertig.

Freier liegt im Experiment immer ein Ensemble vieler QDs vor, die auch beiläufig nicht in einem reinen Anfangszustand sind, \Rightarrow Beschreibung durch einen Dichteoperator $\hat{\rho}$ notwendig.

zu berechnen wäre dann

$$\begin{aligned} \langle S_z^2(t) S_z^2 \rangle &= \text{Tr} \rho e^{iHt/\hbar} S_z^2 e^{-iHt/\hbar} S_z^2 \\ &= \sum_{i=1}^D \underbrace{\langle i | \rho }_{\langle \phi |} e^{iHt/\hbar} S_z^2 e^{-iHt/\hbar} \underbrace{S_z^2 | i \rangle}_{|\psi_i \rangle} \end{aligned} \quad (26)$$

(vgl. (25))

Dimension von $\mathcal{H} \gg \gg 1$

D verschiedene Zustände so zeitlich entwickeln („propagieren“) wie oben (25)
 \Rightarrow hoffnungslos.

Trick: Stochastische Auswertung hochdimensionaler Spuren (vgl. z.B. Weipert & Felbick, loc. cit.)

generiere N_S zufällige Zustände $|r\rangle$

$$|r\rangle = \sum_{i=1}^D \xi_{ri} |i\rangle \quad (27)$$

12-10

wobei die Koeffiz. $\{r_i\}$ reelle Zufallszahlen sind, mit

$$\langle\langle \{r_i\} \rangle\rangle = 0, \quad \langle\langle \{r_i\} \{r_j\} \rangle\rangle = \delta_{rr_1} \delta_{ij} \quad (28)$$

wobei $\langle\langle \rangle\rangle$ die statistische Mittelung über diese Zufallszahlen bedeutet. Dann gilt für die Spur eines Operators A

$$\begin{aligned} \left\langle\left\langle \frac{1}{N_S} \sum_{r=1}^{N_S} \langle r | A | r \rangle \right\rangle\right\rangle &= \frac{1}{N_S} \sum_{r=1}^{N_S} \sum_{i,j=1}^D \langle\langle \{r_i\} \{r_j\} \rangle\rangle \underbrace{\langle i | A | j \rangle}_{(28)} \\ &\stackrel{(28)}{=} \sum_{i=1}^D \langle i | A | i \rangle = \text{Sp} A \quad (29) \end{aligned}$$

(28) ist erfüllt, wenn man die $\{r_i\}$ aus einer Gauß-Verteilung zieht. Wenn man in (29) nur „unvollständig mittelt“, entsteht ein „Fehler“, man kann zeigen

$$\frac{1}{N_S} \sum_{r=1}^{N_S} \langle r | A | r \rangle = \sum_{i=1}^D \langle i | A | i \rangle + O\left(\frac{1}{\sqrt{N_S D}}\right) \quad (30)$$

(D im Nenner ist der Clou!)

In der Praxis liefert für unser System $N_S=5$ gute Ergebnisse. Es müssen nur 5 statt D Zustände propagiert werden.

Experimentalphysiker lieben Spektren (23)

Kann man mit Tschebyscheff relativ einfach direkt (ohne Umweg über numerische Berechnung von $S(t)$) berechnen.

Im konkreten Fall ist das besonders einfach, weil der Dichtekoperator besonders einfach ist. Wenn man die Ener-

gestalten des Problems anschaut (\rightarrow Hackmann), stellt man fest, dass die Mess-Temperaturen von $\sim 5\text{ K}$ für dieses System effektiv ∞ ist, \Rightarrow

$$S = \frac{1}{D} \mathbb{1} \quad (31)$$

Berechne dann (einen Beitrag der) Spinvauschfunktion (22)

$$\begin{aligned} \langle S^z(t) S^z \rangle &= \frac{1}{D} \text{Sp} \left(\overset{\substack{\uparrow \\ \text{entwickeln, (17/18)}}}{e^{iHt/\hbar} S^z} \overset{\substack{\uparrow \\ \mu_{nm}}}{e^{-iHt/\hbar} S^z} \right) \\ &= \sum_{n,m=0}^{\infty} \overbrace{\frac{2-\delta_{n,0}}{\pi} \frac{2-\delta_{m,0}}{\pi}}^{h_{nm}} \underbrace{\frac{1}{D} \text{Sp} [T_n(\tilde{H}) S^z T_m(\tilde{H}) S^z]}_{\mu_{nm}} \\ &\quad \int_{-1}^1 d\tilde{\omega}_1 \int_{-1}^1 d\tilde{\omega}_2 e^{-i(\tilde{\omega}_1 - \tilde{\omega}_2)at} \frac{T_n(\tilde{\omega}_1) T_m(\tilde{\omega}_2)}{\sqrt{(1-\tilde{\omega}_1^2)(1-\tilde{\omega}_2^2)}} \quad (32) \end{aligned}$$

Fouriertransformation liefert

$$\begin{aligned} S(\omega) &= \sum_{n,m=0}^{\infty} h_{nm} \mu_{nm} \int_{-1}^1 d\tilde{\omega}_1 \int_{-1}^1 d\tilde{\omega}_2 \frac{T_n(\tilde{\omega}_1) T_m(\tilde{\omega}_2)}{\sqrt{(1-\tilde{\omega}_1^2)(1-\tilde{\omega}_2^2)}} \otimes \\ &\quad \otimes \underbrace{\int_{-\infty}^{\infty} dt e^{-i(\frac{\omega}{a} + \tilde{\omega}_1 - \tilde{\omega}_2)at}}_{\frac{2\pi}{a} \delta(\frac{\omega}{a} - \tilde{\omega}_1 - \tilde{\omega}_2)} \quad (33) \end{aligned}$$

$$= \sum_{n,m=0}^{\infty} \frac{2\pi}{a} h_{nm} \mu_{nm} \int_{\alpha}^{\beta} d\tilde{\omega} \frac{T_n(\tilde{\omega}) T_m(\tilde{\omega} + \frac{\omega}{a})}{\sqrt{(1-\tilde{\omega}^2)(1-(\tilde{\omega} + \frac{\omega}{a})^2)}}$$

wobei

$$\alpha = -1 - \frac{\omega}{a}, \quad \beta = 1 \quad \text{für } \omega < 0$$

$$\alpha = -1, \quad \beta = 1 - \frac{\omega}{a} \quad \text{für } \omega \geq 0$$

Bleibt das $\tilde{\omega}$ -Integral numerisch zu berechnen, wobei man mit den Polstellen im Nenner vorsichtig sein sollte.